

НЕЙТРОННЫЕ ПОЛЯ ВНУТРИ ПРОСТЫХ ПО ГЕОМЕТРИИ СФЕРИЧЕСКИ-СИММЕТРИЧНЫХ СИСТЕМ, СОЗДАВАЕМЫЕ НЕЙТРОНАМИ СПОНТАННЫХ ДЕЛЕНИЙ ИЗОТОПА ^{238}Pu

Н. Б. Бабичев, А. А. Севастьянов

ФГУП «РФЯЦ-ВНИИЭФ», 607188, г. Саров Нижегородской обл.

Получено пространственное распределение нейтронов в оптически тонких сферически-симметричных системах из плутония-238.

Ключевые слова: интегральное уравнение переноса нейтронов, метод последовательных приближений, нейтронная плотность, источник нейтронов.

Введение

Изотоп ^{238}Pu характеризуется не только очень высокой скоростью реакций α -распада, но и большим выходом нейтронов при спонтанных делениях ядер. Удельная интенсивность нейтронов у этого изотопа составляет $q_n = 2,59 \cdot 10^3$ нейтр./($\text{г} \cdot \text{с}$), что на пять порядков больше, чем у ^{239}Pu (см. [1]). Тем не менее, удельная интенсивность энерговыделения ^{238}Pu за счет спонтанных делений ядер составляет всего лишь $5,7 \cdot 10^{-6}\%$ от тепловыделения при α -распаде (см. [2]).

Цель статьи заключается в определении полей нейтронов внутри однородных шаров и оболочек из ^{238}Pu .

В работе [3] изучен эффект саморазогрева ^{238}Pu за счет реакций α -распада и показано, что только миниатюрные объекты не подвержены плавлению. Ниже рассматриваются малые по массе ядра и оболочки из ^{238}Pu , размеры которых найдены в работе [3].

Поставленная задача решается с помощью аналитических вычислений по формулам первого разряда и численных расчетов, выполненных с помощью одной из математических методик [4].

1. Приближенные аналитические решения интегрального уравнения переноса нейтронов в шарах и оболочках из ^{238}Pu

1.1. Вывод формул, справедливых в случае шара

Коэффициент размножения нейтронов в миниатюрных шарах (см. введение) мал. Поэтому за основу примем стационарное односкоростное уравнение

$$n(\vec{r}) = \frac{1}{4\pi} \int \frac{d\vec{r}'}{S^2} [\beta(\vec{r}')n(\vec{r}') + Q(\vec{r}')] \exp(-\alpha S), \quad (1)$$

$n(\vec{r})$ – нейтронная плотность, $Q(\vec{r}') = \rho q_n(\vec{r}') = Q_n(\vec{r}')$ – количество нейтронов, выделяемых источником за единицу времени в единичном объеме, ρ – плотность плутония, $\alpha = n_\alpha(\sigma_s + \sigma_f + \sigma_c)$ – обратный полный пробег нейтронов, $\beta = h\alpha$, $h = \frac{\nu\sigma_f + \sigma_s}{\sigma_s + \sigma_f + \sigma_c}$ – активность среды, n_α – плотность ядер, σ_s , σ_f , σ_c – элементарные сечения рассеяния, деления и поглощения нейтронов, ν – среднее число вторичных нейтронов, испускаемых

в одном акте деления ядра, вектор $\vec{S} = \vec{r} - \vec{r}'$ направлен вдоль вектора \vec{V} скорости нейтрона.

Уравнение (1) можно свести к следующему безразмерному виду (см. [5]):

$$f(x) = \int_0^1 dz K(z, x) [\beta R f(z) + S_0 z], \quad (2)$$

$$x = \frac{r}{R} \leq 1, \quad (3)$$

$$K(z, x) = \frac{1}{2} \{ Ei[-p(z+x)] - Ei[-p(z-x)] \}, \quad (4)$$

$$p = \alpha R \ll 1. \quad (5)$$

В соотношении (4) входит интегральная экспонента Ei :

$$Ei(-ax) = - \int_{x>0}^{\infty} \frac{dt}{t} e^{-at}. \quad (6)$$

Нейтронная плотность

$$n(x) = \frac{1}{x} f(x), \quad (7)$$

$$S_0 = Q_0 \Delta t, \quad (8)$$

$$\Delta t = \frac{R}{V}, \quad (9)$$

Q_0 – постоянный источник, Δt – характерное время, равное времени пролета нейтроном пути в один радиус шара.

Интегральную экспоненту можно разложить в ряд вблизи точки $x = 0$:

$$Ei(-x) = c + \ln x + \sum_{m=1}^{\infty} (-1)^m \frac{x^m}{mm!}, \quad (10)$$

c – постоянная Эйлера–Маскерони.

Если в (10) оставить лишь главный член ($c + \ln x$), то (4) перейдет в

$$K_0 = \lim_{p \rightarrow 0} K(z, x) = \frac{1}{2} \ln \left| \frac{z+x}{z-x} \right|. \quad (11)$$

Ядро интегрального уравнения (2) будем называть вырожденным.

Условие (5) приводит к следующему упрощению ядра (4):

$$K \approx K_m = K_0 + \Delta K, \quad (12)$$

$$|\Delta K| \ll |K_0|, \quad (13)$$

$$\Delta K = \sum_{m=1}^{\infty} \Delta K_m. \quad (14)$$

$$\Delta K_m \sim p^m. \quad (15)$$

Решение уравнения (2) будем искать методом последовательных приближений. Выпишем явный вид ядра $K_m(z, x)$ для значений $m = 1, 2$ ($K = K_0$ при $m = 0$):

$$K_1(z, x) = K_0(z, x) - \frac{p}{2} (z+x - |z-x|), \quad (16)$$

$$K_2(z, x) = K_1(z, x) + \frac{p^2}{2} xz. \quad (17)$$

Введем следующие интегральные операторы:

$$\hat{U}_0 F = \int_0^1 dz K_0(z, x) F(z), \quad (18)$$

$$\hat{U}_1 = \hat{U}_{11} + \hat{U}_{12}, \quad (19)$$

$$\hat{U}_{11} F = -p \int_0^1 dz z F(z); \quad \hat{U}_{12} = -px \int_x^1 dz F(z). \quad (20)$$

В нулевом приближении

$$f^{[0]}(x) = S_0 \varphi(x), \quad (21)$$

где

$$\varphi(x) = \frac{1}{2} \left[1 + \frac{x^2 - 1}{2x} \ln \left| \frac{x-1}{x+1} \right| \right]. \quad (22)$$

Для первого и второго приближений имеем:

$$f^{[1]}(x) = \hat{U}_0 (h p f^{[0]} + S_0 z) + \hat{U}_1 (S_0 z), \quad (23)$$

$$f^{[2]}(x) = f^{[1]}(x) + \Delta f_2^{[1]}(x), \quad (24)$$

$$\Delta f_2^{[1]}(x) = \Delta f_{21}^{[1]} + \Delta f_{22}^{[1]}(x), \quad (25)$$

$$\Delta f_{21}^{[1]}(x) = h p \hat{U}_0 \Delta f_1^{[0]}(x), \quad (26)$$

$$\Delta f_1^{[0]}(x) = \hat{U}_0 (h p f^{[0]}) + \hat{U}_1 (S_0 z), \quad (27)$$

$$\Delta f_{22}^{[1]}(x) = \hat{U}_1 (h p f^{[0]}) + \hat{U}_2 (S_0 z). \quad (28)$$

Последний оператор определен так:

$$\hat{U}_2 F = \frac{p^2}{2} x \int_0^1 dz z F(z). \quad (29)$$

Определим решение в первом приближении:

$$f^{[1]}(x) = f_0^{[0]}(x) + \Delta f_{11}^{[0]}(x) + \Delta f_{12}^{[0]}(x). \quad (30)$$

Одна из поправок к нулевому приближению находится очень просто:

$$\Delta f_{11}^{[0]}(x) = S_0 \hat{U}_1 z = -\frac{p S_0}{6} x (3 - x^2). \quad (31)$$

Вторая поправка содержит в себе интеграл $I(x)$, который не берется аналитически:

$$\Delta f_{12}^{[0]}(x) = h p S_0 I(x), \quad (32)$$

$$I(x) = \frac{1}{4} \left[1 + \int_0^x dz (1-z^2) \ln \left(\frac{1+z}{1-z} \right) \ln \left| \frac{z+x}{z-x} \right| \right]. \quad (33)$$

В то же время зависимость $I(x)$ подчиняется приближенной, но достаточно точной следующей формуле, погрешность которой составляет менее одного процента при любом $x \leq 1$:

$$I(x) = \frac{3-2B}{6} x \left[\varphi(x) + 2(1-Bx^2) \right], \quad B = 0,63. \quad (34)$$

Эта формула получена нестандартным способом. Кратко изложим его суть. Было рассмотрено некоторое вспомогательное интегральное уравнение типа Фредгольма второго рода относительно функции $H(x)$ и исследован процесс сходимости при его решении методом последовательных приближений с числом итераций $i = 1, 2, 3$ и $i \rightarrow \infty$. Можно показать, что $I(x) \approx xH_2(x)$ и имеется приближенная связь между функциями $H_2(x)$, $H_1(x)$ и $H_\infty(x)$.

В итоге получено следующее решение первого приближения:

$$n^{[1]}(x) = n_0(x) + (\alpha R) n_1(x), \quad (35)$$

$$n_0(x) = S_0 \varphi(x), \quad (36)$$

$$n_1(x) = \frac{S_0}{6} \left\{ (3-2B)h \left[\varphi(x) + 2(1-Bx^2) \right] + x^2 - 3 \right\}. \quad (37)$$

Решение во втором приближении приведем, опустив громоздкие выкладки:

$$n^{[2]}(x) = n^{[1]}(x) + (\alpha R)^2 n_2(x), \quad (38)$$

$$n_2 = n_{21} + n_{22} + n_{23} + n_{24} + n_{25}, \quad (39)$$

$$n_{21}(x) = -\frac{S_0 h}{24} \left[1 + 8 \ln 2 + 11x^2 - 4 \ln(1-x^2) - \frac{3+6x^2-x^4}{2x} \ln \left(\frac{1+x}{1-x} \right) \right], \quad (40)$$

$$n_{22}(x) = S_0 \left[\frac{h(3-2B)}{6} \right]^2 \left[\varphi(x) + 2(1-Bx^2) \right], \quad (41)$$

$$n_{23}(x) = \frac{hS_0}{6} \left[2(3-2B)h - 3 \right] \varphi(x), \quad (42)$$

$$n_{24}(x) = \frac{hS_0}{24} \left[1 - 2B(3-2B)h \right] \left[\frac{1}{3} + x^2 + \frac{1-x^4}{2x} \ln \left(\frac{1+x}{1-x} \right) \right], \quad (43)$$

$$n_{25}(x) = \frac{S_0}{6} = \text{const}. \quad (44)$$

1.2. Формула для нейтронной плотности внутри оболочки

В этом случае $Q(\vec{r}) = Q_0 = \text{const}$ внутри слоя ($R_1 \leq r \leq R_2$) и $Q(\vec{r}) = 0$ за его пределами.

В статье [6] показано, что в нулевом приближении искомое решение интегрального уравнения имеет следующий вид:

$$n_0(x) = \frac{Q_0}{V} \left[R_2 \varphi(x_2) - R_1 \varphi(x_1) \right], \quad (45)$$

$$x_i = \frac{r}{R_i}, \quad i = 1, 2.$$

2. Результаты аналитических вычислений и численных расчетов

Интенсивность нейтронного источника составляет $Q_0 = 2590 \rho$ нейтр./ $(\text{см}^3 \cdot \text{с})$. Если плотность ^{238}Pu $\rho = 16,5 \text{ г/см}^3$, то $Q_0 = 42735$ нейтр./ $(\text{см}^3 \cdot \text{с})$, $S_0 = Q_0 \frac{R}{V} \approx 4,3 \cdot 10^{-5} R$, где скорость нейтронов $V = 10^9$ 1/с, R измеряется в сантиметрах, S_0 – в сантиметрах в минус третьей степени.

В вычислениях и расчетах приняты следующие однопроводные нейтронные константы ^{238}Pu : $\alpha(\rho = 16,5 \text{ г/см}^3) = 0,2238$ 1/см, активность $h = 1,71$ (см. [7]).

2.1. Характеристики шаров из ^{238}Pu с радиусами $R = 0,07; 0,1; 0,13$ см

Приведем результаты аналитических вычислений и численных расчетов (рис. 1).

Результаты вычислений по формулам первого и второго приближений слились в единые сплошные линии и характеризуются погрешностью

$$\delta = \frac{|n^{[1]} - n_{\text{расч}}|}{n^{[1]}} \approx \frac{|n^{[2]} - n_{\text{расч}}|}{n^{[2]}} = (0,6 \div 0,7) \%$$

Использование нулевого приближения приводит к погрешности $\delta = (1 \div 3)\%$ в зависимости от радиуса шара.

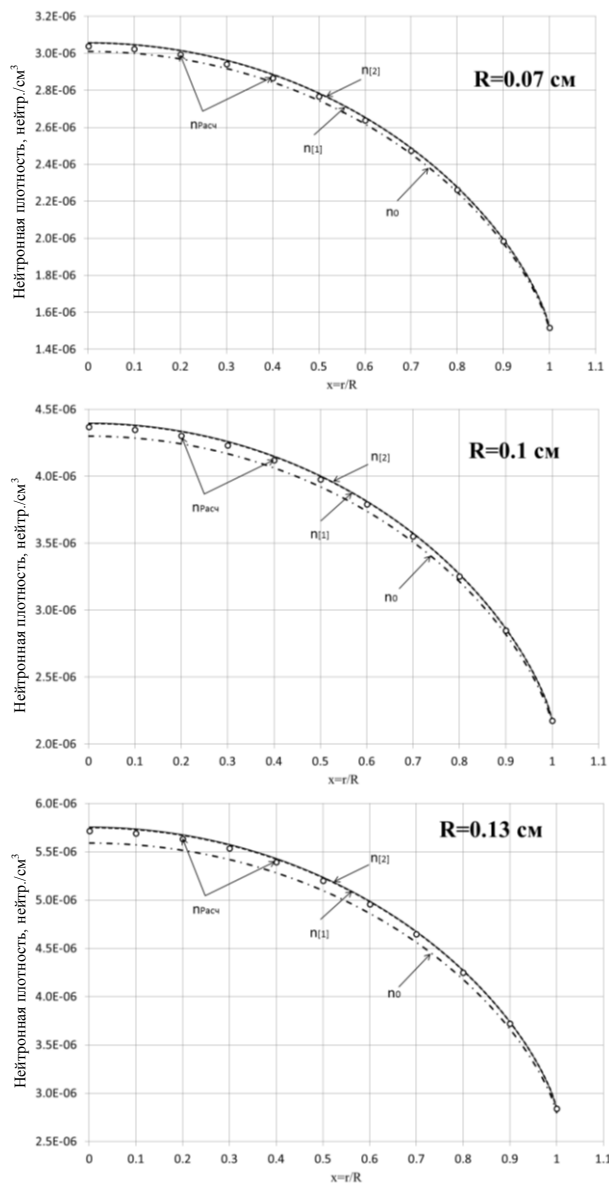


Рис. 1. Зависимости $n_0(x)$ (результаты вычисления в нулевом приближении по формуле (36) – штрих-пунктирная линия), $n^{[1]}(x)$ (результаты вычисления в первом приближении по формуле (35) – пунктирная линия), $n^{[2]}(x)$ (результаты вычисления во втором приближении по формуле (38) – сплошная линия), $n_{расч}(x)$ (результаты численных расчетов – маркеры)

2.2. Результаты, полученные для оболочки из ^{238}Pu

Геометрия системы показана на рис. 2.

^{238}Pu

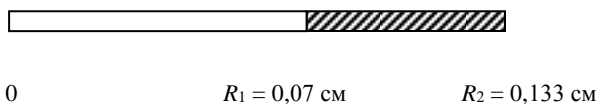


Рис. 2. Радиальный разрез сферически-симметричного слоя

Результаты аналитических вычислений и численного расчета нейтронной плотности представлены на рис. 3.

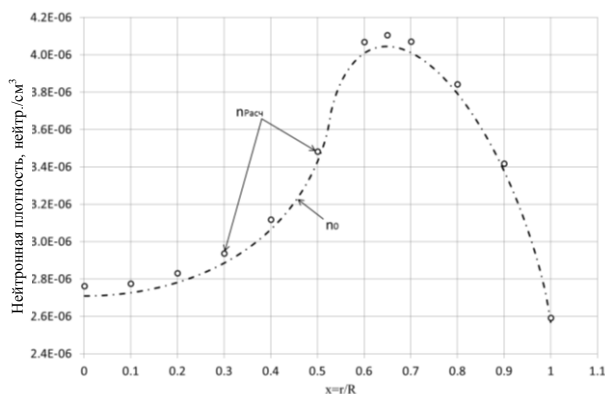


Рис. 3. Функции $n_0(x)$ (результаты вычисления в нулевом приближении по формуле (45) – штрих-пунктирная линия) и $n_{расч}(x)$ (результаты численного расчета – маркеры)

Наибольшая погрешность $n_0(x)$ (в точке максимума плотности нейтронов) оказалась равной 1,5 %.

Заключение

В статье получены приближенные формулы для нейтронных плотностей внутри шара и оболочки из ^{238}Pu .

Из сравнения результатов аналитических вычислений и численных расчетов вытекают следующие оценки погрешностей (см. таблицу).

$$\delta = \frac{|n - n_{расч}|}{n}$$

полученных аналитических решений

Геометрия системы	Погрешность в нулевом приближении, %	Погрешности первого и второго приближений, %
Шар с радиусом $R \in [0,07; 0,13]$ см	1–3	0,6–0,7
Оболочка, расположенная между радиусами 0,07–0,133 см	1,5	–

Список литературы

1. Perry R. T. and Wilson W. B. Neutron production from (α, n) reactions and spontaneous fission in ThO_2 , UO_2 , and $(\text{U,Pu})\text{O}_2$ Fuels. Los Alamos National Laboratory report LA-8869-MS (June 1981).

2. Lederer C. M. and Shirley V. S., Eds., Table of Isotopes, 7th ed. (John Wiley&Sons, Inc., New York, 1978).

3. Бабичев Н. Б., Севастьянов А. А. Об эффекте саморазогрева плутония-238 в простых по геометрии сферически-симметричных системах // ВАНТ. Сер. Теоретическая и прикладная физика. 2014. Вып. 3. С. 85-88.

4. Шагалиев Р. М., Гребенников А. Н., Артемьев А. Ю., Будников В. И. Развитие основных методик и программ ИТМФ // Журнал Атом, 2011. № 50–51.

5. Ахиезер А., Померанчук И. Некоторые вопросы теории ядра. Л.: Оборонгиз, 1950.

6. Бабичев Н. Б., Севастьянов А. А. Особенности пространственного распределения нейтронов вблизи границ // ВАНТ. Сер. Теоретическая и прикладная физика. 2008. Вып. 2. С. 32–37.

7. Бабичев Н. Б., Севастьянов А. А. Критические параметры однородных шаров, состоящих из плутония-238 и плутония-239 // ВАНТ. Сер. Теоретическая и прикладная физика. 2014. Вып. 3. С. 28–35.

Статья поступила в редакцию 29.01.2015